

99360

1961年

福建省医学科研成果选編

(内部資料)



福建省科学技术委员会編
福建省卫生厅

一九六二年五月

目 录

- 鼻咽粘膜及鼻咽癌组织化学研究.....福建医学院病理解剖教研组 沈云英 (1)
嗜银纤维在研究鼻咽癌上的意义.....福建医学院病理解剖教研组 沈云英 (5)
恶性肿瘤120例血清蛋白的滤纸电泳分析.....福建省立医院 童国璋等 (8)
肝囊线(中医舌诊).....福建省立医院肿瘤科 童国璋等 (10)
脊髓肿瘤25例临床分析.....福州神经精神病防治院神经外科 陈锦峯 (13)
子宫颈癌388例分析.....福建省妇幼保健院 (16)
结肠代食管术在食管癌外科治疗中的应用(附63例报告).....福建医学院 李温仁等 (18)
- 关于传染性肝炎中医病理机制的初步探讨.....福建中医学院温病教研组等 (22)
传染性肝炎远期预后探讨(附144例肝炎随访结果初步报告).....福州市立传染病院 (30)
- 福建多价痢疾噬菌体治疗急性细菌性痢疾的研究.....福建省流行病研究所 吴开宇 (32)
福建非典型痢疾菌株的研究(1956—1961).....福建省流行病研究所 吴开宇等 (35)
中毒性消化不良(包括致病性大肠杆菌病例)临床分析.....福建省立医院小儿科 (37)
九年来福州市所见小儿菌痢临床分析.....福建省立医院小儿科 叶孝礼 (45)
局限性肠炎.....福州市立第二医院外科 方景光等 (50)
中西医结合治疗溃疡病的临床探讨.....福建医学院附属医院溃疡病小组 颜昌敬整理 (54)
- 血液病患者红细胞游离原紫质的研究(摘要).....福建医学院附属协和医院内科教研组 陈捷先 (58)
50例紫癜病中医辨证论治疗效观察报告.....福州市人民医院内科、小儿科 陈兴珠整理 (61)
- 黄花夹竹桃素的强心作用、其胃肠道吸收情况及血
清对其作用的影响.....福建医学院药理教研组 刘广苏等 (67)
艾氏腹水癌小白鼠服中药后癌细胞质和量变化的观察.....福建省卫生厅药品检验所 (71)
- 水肿病病因发病机制的探讨.....福建省立医院内科 潘秀珍等 (75)
由针刺治疗机制研究上探索经络实质.....福建省立医院耳鼻喉科 王东曦等 (78)
中西医结合综合治疗麻风病的初步经验总结.....福建省白沙疗养院 林应增等 (87)
尿中硫酸盐的结合滴定测定法.....福建省卫生研究所 (95)
福建钩端螺旋体病的临床类型及鉴别诊断.....福建省流行病研究所 于恩庶 (97)
肾上腺皮质功能不足所致的休克.....福州市立第一医院 郑迺光等 (100)
腹腔减压对肺结核病引起呼吸困难等症状十二例疗效分析.....福州结核病防治院 陈明椿等 (102)
颈动脉周围神经剥离合并动脉体剔出术治疗顽固性
枝气管哮喘初步报告.....福州市立第一医院 郑迺光等 (105)
脑血管造影术与颅内疾患的诊断.....福州神经精神病防治院放射科 谢子康 (107)

鼻咽粘膜及鼻咽癌组织化学研究

福建医学院病理解剖教研组 沈云英

鼻咽癌的组织分型有着许多不同见解，最近梁伯强氏提出了一个与肿瘤生物学特性相结合的鼻咽癌病理分型是值得重视与注意的。由于组织化学的发展，对肿瘤组织生活机能状态的認識創造了条件，因此若能利用组织化学研究方法并按肿瘤的组织结构和代谢活动来分别类型，将对各种肿瘤的预防与控制有更重大的指导意义。本文研究目的就是在鼻咽癌组织分型的研究基础上进一步观察各型鼻咽癌组织中磷酸酶，多糖类及核酸的含量与分布，以便进一步掌握各型鼻咽癌的生物学特性。兹将观察结果总结如下。

材料及方法

研究材料包括33例鼻咽癌的活检组织及65例非癌变的鼻咽部粘膜组织。取得材料均应立即进行分别固定和包埋，然后以不同的组织化学方法处理。碱性磷酸酶用Danielli氏法，多醣类，以过碘酸Schiff法，去氧核糖核酸用Feulgen氏反应，核糖核酸用Brachet氏法染色。

此外每例均作苏木素——伊红染色，进行一般观察及癌瘤分型。将鼻咽癌分为上皮样型，鳞状细胞型，基底细胞型及腺癌四大型，而上皮样型又次分为合体细胞，梭形细胞，多形细胞及小细胞等型。

记录标准：

“-”表示无染色反应。

“±”表示偶见极少量染色反应。

“++”表示中等度反应。

“+++”表示强反应。

观察结果

各组织化学的检查例数多少不一，分别叙述如下：

(一) 碱性磷酸酶：

在65例非癌变的鼻咽粘膜切片中见到复层鳞状上皮各层细胞核中均有少量至中等量碱性磷酸酶存在，底层多于中层及表层，表现为棕黑色细小颗粒。胞浆阴性但若细胞发生角化则角质层中有呈条状排列的深黑色颗粒。假复层柱状上皮细胞核及上皮游离缘也有少量黑色颗粒沉着。值得提出的一点，在柱状上皮向

鳞状上皮移行或鳞状化生之处，酶的含量明显增加，核膜及核仁反应加强。上皮下淋巴组织普遍含有较多碱性磷酸酶，成熟的淋巴细胞多于淋巴母细胞及网细胞。血管壁是碱性磷酸酶的主要所在地，在切片中表现强阳性反应，一般以基底膜内的含量多于内皮细胞及平滑肌细胞。幼稚的纤维母细胞及炎细胞的反应与淋巴细胞相似。胶元纤维示弱阳性或阴性。（见表1）

表1 碱性磷酸酶在非癌变鼻咽粘膜中的含量和分布

组织	含量	
	角质层	复层表层
鳞状上皮	+++	+
中层	++	
底层	++	
柱状上皮	+	
鳞状化生	+++	+++
淋巴组织	++	
血管	+++	
横纹肌	+++	
纤维母细胞	++	
白血球	++	
胶元纤维	±	

33例鼻咽癌中可作组织分型观察的仅20例，其中上皮样型（即梁氏未分化型）13例，鳞状细胞型7例。观察结果发现：（1）碱性磷酸酶在非癌变上皮细胞及癌细胞中的含量无显著差别，曾以12例同时有上皮组织及癌组织存在的切片进行观察与比较，癌细胞酶含量略多于上皮细胞的共7例，相等的共5例。（2）分化低的癌组织酶含量多于分化高的，表现为上皮样型的含量多于鳞状细胞型，癌珠周边部的含量

多于中心部。（3）退变及坏死瘤細胞的酶含量逐渐减少。本組曾有多例經過中药及放射治疗，瘤組織大量坏死，其中酶含量大大減少，而炎性渗出物中的酶含量却很高。（4）鱗状化生及癌前改变部位的酶含量最高，不仅高于正常上皮且超过癌組織的含量。此外由于材料的限制未能对癌瘤間質作仔細的觀察。

（見表2）

表2 碱性磷酸酶在鼻咽癌組織中的含量和分布

編號	組織類型	瘤实质	鄰近粘膜
Ca 2	多形細胞	++	+ → ++
Ca 3	多形細胞	+	0
Ca 4	多形細胞	+	0
Ca 7	多形細胞	++	0
Ca 9	多形細胞	++	+
Ca 66	多形細胞	++	0
Ca 74	多形細胞	+	+
Ca 89	多形細胞	++	+
Ca 63	合体細胞	++	++
Ca 75	合体細胞	++	+
Ca 97	合体細胞	++	+
Ca 57	小細胞	+	+
Ca 98	梭形細胞	++ → +++	0
Ca 20	鱗狀細胞	+	+
Ca 39	鱗狀細胞	+	0
Ca 73	鱗狀細胞	+	0
Ca 76	鱗狀細胞	++	+
Ca 77	鱗狀細胞	+ → ++	0
Ca 91	鱗狀細胞	+	+
Ca 95	鱗狀細胞	++	+

（二）多糖类（PAS反应）：

凡PAS反应阳性的显示猩紅色的顆粒。非癌变的鼻咽部复層鱗状上皮角化層及表層細胞胞浆中含大量紅色顆粒，粗而密集。中層胞浆內也見較多顆粒，但較前者細小，排列疏松，到底層驟然消失。柱状上皮的杯細胞胞浆中含大量网状或絮状的紅色顆粒，多沿細胞游离緣分布，上皮表面分泌物也为紅色网状，纖毛柱状上皮完全阴性，上皮下基底膜作浅紅色，淋巴組織阴性，平滑肌及橫紋肌阳性，血管内皮細胞、纖維母細胞及胶元纖維弱阳性。（見表3）

表3 非癌变鼻咽粘膜的中多糖类的含量和分布

含 量	
組織	
复層鱗状上皮	角质層
	表層
	中層
	底層
柱状上皮	杯細胞
	纖毛細胞

上皮基底膜	++
淋巴組織	-
血管	+
平滑肌、橫紋肌	++
纖維母細胞	+
胶元纖維	+

在20例可作組織分型的鼻咽癌中，上皮样型13例，鱗状細胞型7例。各例瘤实质、瘤間質及附近非癌变上皮組織中多糖类的含量及分布如下：（見表4）

表4 多糖类在鼻咽癌組織中的含量和分布

編號	組織類型	瘤实质	鄰近粘膜	瘤間質	瘤巢周围
Cb-3	多形細胞	+	0	+	
Cb-4	多形細胞	+	0	+	
Cb-7	多形細胞	-*	-	+	
Cb-19	多形細胞	+	++	++	+
Cb-29	多形細胞	-*	0	+	
Cb-36	多形細胞	-*	++	+	
Cb-43	多形細胞	-	++	++	
Cb-66	多形細胞	+	0	++	
Cb-89	多形細胞	+	+	++	
Cb-63	合体細胞	-	0	0	
Cb-97	合体細胞	+	++	+	
Cb-57	小細胞	-	++	+	
Cb-20	鱗狀細胞	++	++	0	+
Cb-30	鱗狀細胞	-	++	++	
Cb-39	鱗狀細胞	++	0	++	+
Cb-76	鱗狀細胞	+	0	++	
Cb-77	鱗狀細胞	++	0	+	+
Cb-91	鱗狀細胞	+++	+++	+	+
Cb-95	鱗狀細胞	士①	+++	+	
Cb-98	梭形細胞	-	0	+	+

* 瘤組織分化极低，有大量核分裂。

①瘤組織广泛坏死。

从表4可以看出：（1）上皮样型瘤实质中的多糖类含量显然比鱗状細胞型者少，此乃与瘤細胞分化程度的高低有关，分化愈低，含量愈少而至完全消失。瘤細胞的含量往往比邻近非癌变上皮細胞为少，也是同样原理。在附带有上皮組織的14例中，7例瘤細胞的含量少于非癌变上皮細胞，4例相等。（2）多糖类的含量与瘤細胞的营养有关，当瘤細胞发生退变坏死时，含量大大減少。（3）瘤間質中的多糖类的含量与瘤瘤的組織类型无特殊关系，但因上皮样瘤实质的含量较少，間質內的含量就相对的增多。上皮样型中，間質多于实质的共12例；鱗状上皮型中，間質含量多于实质的仅3例，間質少于实质的也有2例，相等的1例。（4）在绝大部分鱗状細胞型的胞巢周围有多糖类基质包绕，隐约形成一层包膜。这种現象在上皮样型的胞巢周围则极少見到。

（三）核酸：

1.去氧核糖核酸(DNA)用Foulgen反应的结果，

DNA存在于細胞核內，呈紫紅色。鼻咽部復層鱗狀上皮的核為梭形或橢圓形，核內DNA呈細網狀分布或固縮成濃密小塊。柱狀上皮細胞核內DNA的含量略少于鱗狀上皮的。炎症時，核排列紊亂但DNA的含量無嚴重改變；唯有當細胞核水樣變性時，DNA減少，核中出現空泡，或當基底層細胞核發生增生分裂時，DNA增多，作深藍色細絲狀，核膜消失。上皮下淋巴組織內DNA的含量極豐富，以淋巴細胞最多，淋巴母細胞次之，網細胞最少。鼻咽癌組織的DNA含量及分布不因不同組織類型而有顯著差異，但與腫瘤細胞的分化程度生活情況有關。如鱗狀細胞型胞巢周邊部的含量多於中心部，又凡含有較多核分裂的DNA含量增多。若因中藥治療或放射治療發生廣泛退變及壞死時，DNA含量減少。腫瘤部分的含量一般均多於附近未癌變的上皮組織，一旦發生癌變則含量突然增加。

(見表5)

2. 核糖核酸(RNA)：核糖核酸RNA被Brachet

表5 核酸在鼻咽癌組織中的含量分布

編號	組織類型	D N A		R N A		
		瘤體实质	隕近粘膜	瘤體实质	隕近粘膜	肥大細胞
Cb 2	多形細胞			+++→+++	+++→+++	
Cb 3	多形細胞	+	++	+	0	
Cb 4	多形細胞	+++	++	++	0	+
Cb 7	多形細胞	++	+++△	++→+++	++	++
Cb 8	未定型	+++				
Cb19	多形細胞	++	++	++	++→++	++
Cb29	多形細胞	+→++	+			
Cb36	多形細胞	+→+++(1)	0	+	0	+
Cb43	多形細胞	++	+	+	+	++
Cb50	未定型	++	+			
Cb52	未定型	+	+			
Cb57	小細胞			++	+→++	+
Cb63	合體細胞	++	0	++	0	
Cb66	多形細胞	++	0	+	0	+
Cb89	多形細胞	++	0	++	0	+++
Cb97	合體細胞	++	++	+	0	+
Cb98	梭形細胞	++	0	+	0	++
Cb20	鱗狀細胞	+→++	+→++	+→+++	+→+++	++
Cb30	鱗狀細胞	+→+++(1)	+→++	++	+→++	++
Cb39	鱗狀細胞	+→++	+→++	++	0	++
Cb73	鱗狀細胞	+→+++(1)	0			
Cb76	鱗狀細胞	+	+			
Cb77	鱗狀細胞	+→+++(1)	0			
Cb91	鱗狀細胞	+→++	+→++	++	++	+++
Cb95	鱗狀細胞	+→+++	+→+++			

*癌組織退變壞死。

△向癌變移行。

(1)核分裂多。

讨 论

碱性磷酸酶是磷代謝酶的一種，它除對碳水化合物

氏染色法染成鮮紅色微細顆粒，均勻分布于原漿及核仁中，鼻咽部復層鱗狀上皮中層及底層的含量多於表層，但表層有較大核仁，該處核糖核酸也較多。柱狀上皮胞漿中含極少量微細的紅色顆粒，多沿核的四周尤以核底部為多，核仁作成淺紅色。上皮增生處柱狀上皮的層次增加或發生鱗狀化生，核仁加大，RNA增多，但性質無特殊改變。上皮下淋巴組織以生發中心網細胞的含量最多，呈深紅色顆粒，排列緊密，淋巴母細胞含少量，淋巴細胞無。間質內含多寡不等的肥大細胞，胞漿中充滿RNA顆粒，呈鮮紅至桔紅色。纖維細胞及內皮細胞為弱陽性。RNA在癌細胞中的分布隨分化程度而異，癌巢中央部的含量較周邊部少。癌細胞發生退變及壞死時，RNA減少。正發生核分裂的癌細胞RNA也減少。間質細胞的含量較癌細胞少，但各例間質中均有多少不等，呈散在分布或密集成堆的肥大細胞，尤以鱗狀細胞型為多。(見表5)

物及脂肪分解代謝及吸收有重要作用外，更重要的是對核酸及蛋白的合成有密切關係。許多實驗證明礦性磷酸酶的存在與胚胎組織的分化及受損組織的再生有

关，胚胎发育早期酶的含量最多，当原始组织分化到一定的形状或达到一定的功能时，磷酸酶即趋于消灭；皮肤受伤时，在再生的结缔组织中，碱性磷酸酶显著增加，当愈合作用继续进行时酶的含量也渐渐减少。Kabat及Furth氏曾用组织化学方法研究鸡和哺乳类动物肿瘤中所含的磷酸酶，他们未能发现任何简单规律存在，有时高，有时稍微低。

Greenstein见胃肠道中原有大量碱性磷酸酶存在，发生肿瘤时则大量减少。但Рыжикова在大白鼠实验性肝癌中亦见碱性磷酸酶较正常增多，国内刘永氏、李维华氏曾分别对胃癌及子宫颈癌的碱性磷酸酶进行了研究。刘永氏认为胃癌组织中的碱性磷酸酶有显著增加，李氏认为酶含量的多少是与肿瘤组织分化程度及生长状态有关。根据本组观察的结果可以看到几项重要事实：1.无论在非癌变上皮或癌组织中，酶的含量与细胞生长机能旺盛有关；表现为上皮基底层酶的含量多于表层，分化底的癌组织含酶量多；有丰富核分裂的癌组织的含酶量更多；癌珠边缘部的含量多于中心部；当细胞发生衰老退变及坏死时，酶的含量就大大减少。此点与李维华氏、陈钦材氏及BO氏等的观察一致，说明碱性磷酸酶对组织生长发育即蛋白的合成有一定关系。

Greenstein氏在他的研究中曾有力的说明核酸戊醣为蛋白质综合时所必需的物质。其中的步骤虽未完全明了，但在许多情况下见到核酸含量是和磷酸酶的活动有关。Caspersson, Thorell及Moog氏等的实验也都证明核酸含量和磷酸酶的活动平行。核酸戊醣与磷酸酶均在原始不分化的胚胎组织中聚积较多，而当胚胎继续发育时二者均减低。Brachet氏又曾指出碱性磷酸酶反应的强度与去氧核糖核酸中磷的更新速度平行。Krugelis氏观察到碱性磷酸酶的活动系集中在细胞核的真染色质，这说明去氧核糖核酸分子中磷的替换可能来自核的碱性磷酸酶。因此细胞内碱性磷酸酶含量的多少可以反映细胞生长的速度，同样可以作为反映肿瘤生长速度的一种指标。2.鳞状化生及癌前改变的上皮细胞酶的含量超过癌组织，更超过正常上皮组织。Bern、BO氏等分别在不同动物实验中见到类似的现像。陈钦材氏也发现人体恶性肿瘤周围呈活跃增生的组织或有癌前改变的组织含酶量较高。事实说明碱性磷酸酶的增多，不是癌组织独有的改变，也与肿瘤组织的浸润与否无关，而是任何增生组织的共同现象。所以肿瘤或炎症附近增生组织中的含量特别多，其意义尚不完全了解，可能与损伤后增殖过程中组织代谢特别旺盛有关。

PAS反应主要用以证实组织中糖元，多糖类、粘液，粘液蛋白，透明质酸、肝素、硫酸软骨素等的存在，糖元的出现是细胞成熟的指标。无论是正常或癌

变组织的未分化细胞均含极少或不含糖元，活跃合成蛋白的细胞则无糖元储存。本组观察表现：1.复层鳞状上皮表层及中层内含成堆糖元颗粒，底层完全缺如。2.癌细胞内的含量远较非癌变细胞为少，分化越低的癌细胞含量越少。值得提出的尚有两种现象。即①与癌组织毗邻的正常上皮内糖元显著减少。Hopman氏在人体子宫颈的标本中也见到相同的结果。此可能与癌细胞需要消耗其附近上皮细胞内多量糖元来维持其新陈代谢有关。②在分化较好的鳞状细胞型的胞巢周围隐约见到一层薄的粘多糖包绕。这种发现与嗜银染色的结果一致，因此可以认为它的出现与嗜银纤维有着相同的生物学意义反映机体对某些肿瘤的反应特性，有限制瘤组织迅速生长及蔓延的作用。所以作者认为借PAS反应，通过对癌细胞内糖元及胞巢周围粘多糖的观察也可以判定癌组织的分化程度及生长速度。

核酸在肿瘤的代谢中起着很重要的作用，特别是和细胞分裂及细胞生长的关系很密切。一般都认为去氧核糖核酸(DNA)在细胞分裂中起重要作用，而核糖核酸(RNA)则和细胞中蛋白质的生物合成发生关联。在一些生长快或生物活性强而蛋白合成很活跃的组织中含量都极丰富。肿瘤组织中核酸的含量和分布情况，文献记载不完全一致。一般报道肝癌的核酸含量比正常肝较高，但是另一些人则报道大鼠移植性肝癌中核蛋白量和正常肝中的几乎相等。不同实验室都曾报道肝癌中DNA量比正常肝组织较高而其RNA量的增加并不显著，甚至减少，若作精细的观察得知肝癌细胞核的DNA和蛋白质增加，线粒体中RNA和蛋白质都减少而细胞浆中RNA则增加。关于白血病和肉瘤也有报道认为急性白血病中RNA及DNA的量都有增加，且比慢性白血病的增加为多。在各种动物肉瘤中RNA和DNA都有增加的趋势，但由于DNA增加特多RNA/DNA之比则减低。在肿瘤治疗过程中RNA及DNA的浓度都比原来肿瘤的减少，RNA/DNA之比却有增高趋势。致子在每个细胞核中，DNA的值究竟有否改变也有不同的意见。Boivin, Vendrely氏等提出所谓DNA恒定学说，这个见解和Morgan学派的遗传学说旨趣相合，他们认为不论在生理或病理情况下，细胞核的DNA量是一个常数。苏联Макаров院士的许多实验批判了DNA恒定论的学说。在肿瘤方面，许多现象是不能用DNA恒定论来解释的。癌细胞核的DNA值可以比正常增加50—220%。本组研究得到类似的结果：癌细胞内RNA及DNA的量均比正常细胞高。分化越低，生长越快的肿瘤，含量也越多，经中药或放射治疗后，癌细胞发生退变坏死，RNA及DNA的量大大减少。此外，在肿瘤间质中见到许多含有丰富RNA的肥大细胞。Fanger氏等曾指出肥大细

胞中的颗粒既不是透明质酸，也不是硫酸软骨素，而是在间质的基质形成过程中有分离各种酶的作用的一种物质。它们在肿瘤间质中的出现可能与嗜银纤维的增多密切关联，是机体对肿瘤的一种反应特征。

总 结

本文研究了33例鼻咽癌活检组织及65例非癌变鼻咽粘膜组织的碱性磷酸酶、多糖类及核酸的组织化学改变，根据本组观察的结果可总结为以下几点。

1.无论在非癌变上皮或癌组织中，碱性磷酸酶的含量与细胞生长机能旺盛有关，表现为上皮基底层酶的含量多于表层；分化低的癌组织含酶量多；有丰富核分裂的癌组织的含量更多；癌珠边缘的含量多于中心部；细胞发生衰老退变及坏死时，酶的含量大大减少。这说明碱性磷酸酶对组织生长发育即蛋白的合成有一定关系。又发现鳞状化生及癌前改变的上皮细胞酶的含量超过癌组织，更超过正常上皮组织，其意义尚不完全了解，可能与损伤后增殖过程中组织代谢特别旺盛有关。

2.糖元的出现是细胞成熟的标志，未分化细胞均含极少或不含糖元。复层鳞状上皮表层及中层内含成堆糖元颗粒，底层完全缺如，癌细胞内的含量远较非

癌变上皮细胞为少，分化越低的癌细胞含量越少。与癌组织毗邻的正常上皮内糖元显著减少，此可能与癌细胞需要消耗附近上皮细胞内多量糖元来维持其新陈代谢有关。

3.在分化较好的鳞状细胞型癌巢周围隐约见到一薄层的粘多糖包围。这种发现与嗜银染色的结果一致，因此可以认为它的出现与嗜银纤维有相同的生物学意义反映着机体对某些肿瘤的反应特性，有限制瘤组织蔓延的作用。

4.核酸在肿瘤的代谢中起着很重要的作用，特别是和细胞分裂及细胞生长的关系很密切。一般都认为去氧核糖核酸在细胞分裂中起重要作用，而核糖核酸则和细胞中蛋白质的生物合成发生关联，本组癌细胞内RNA及DNA的量均比正常细胞高。分化越低，生长越快的肿瘤含量也越多。经中药或放射治疗后，癌细胞发生退变坏死，RNA及DNA的最大减少。

5.在癌组织中发现多寡不等的肥大细胞。胞浆内含大量RNA。肥大细胞的颗粒在间质的基质形成过程中有分离各种酶的作用，它的出现可能与嗜银纤维的增多有关，反映了机体的反应机能及免疫性。

参考文献（从略）

嗜银纤维在研究鼻咽癌上的意义

福建医学院病理解剖教研组 沈云英

· 嗜银纤维染色经常被应用来鉴别某些肿瘤的类型，但很少有人考虑它在各种肿瘤中的生物学意义，或依靠它来了解患病机体的机能状态，为了要阐明鼻咽癌组织分型过程中的各种组织类型的机体反应特征，进一步掌握各种鼻咽癌的生长规律，进行了鼻咽癌嗜银纤维的形态学观察，现总结如下：

材料及方法

我们用83例鼻咽癌活体标本作为本文研究材料。标本均经10%甲醛固定，用苏木素—伊红及Peraud嗜银纤维染色。

观察结果

83例鼻咽癌中合体细胞型的26例，梭形细胞型12例，多形细胞型22例，小细胞型5例，鳞状细胞型14例，基底细胞型1例及腺癌3例。各种组织类型的病变特点及嗜银纤维的情况分别描述如下：（见表）

一、合体细胞型：

此型最为多见，共26例。在苏木素—伊红染色切片中癌细胞大，边界不清楚，胞浆丰富，互相融合，染色浅。核大，核膜清楚，染色质稀少，核仁明显可见，罕见核分裂。癌组织多呈圆块状，或弥漫性生长，癌巢内往往混有中等量至多量淋巴细胞，以致与周围间质分界不明。经嗜银染色见癌巢间有细短的纤维，嗜银性弱，排列疏松，不互相编结成索，或平行排列成束，部分向癌巢中延伸，无胶元化现象。在呈大片生长的癌组织内可以见到短而不整形的纤维，粗细不一，有的为点状，有的杆状，也有如弧状；少数成网排列，网眼内含有3—5个癌细胞，有的仅在血管周围见到少量短而微细，呈网状，或放射状排列的纤维，其他部分完全缺如。

二、梭形细胞型：

本型常与合体细胞混合存在，在苏木素—伊红片中，癌细胞为梭形，可分为大梭形及小梭形两种，

附表

鼻咽癌各型组织形态及网纤维的比较表

组织类型	例数	H + E 染色				嗜银染色				
		瘤细胞	核分裂	淋巴细胞与间质 细胞浸润分界	生长方式	嗜银纤维性状	分布	胶元化	血管壁	
合体细胞型	26	细胞大，分界不明，胞浆多，核深染，核仁明显。	罕见。	中等量至多量。	以弥漫性为主。	嗜银性弱或中等，纤维细长而弯曲或断裂成小段。	不限于胞巢周围，胞巢内也有零星分布。	不明显。	血管多，管壁薄，纤维呈细网状或放射状。	
梭形细胞型	12	细胞作梭形排列成束，大形者核浅，小形者有时核深。	小形者罕见，大形者多见。	少量至中等量。	结节或弥漫性。	嗜银性弱或中等，纤维细长而弯曲或断裂成小段。	不限于胞巢周围，胞巢内也有零星分布。	不明显。	血管较少，纤维呈同心圆或短的树枝状排列。	
多形细胞型	22	细胞多形，边界清楚，胞浆少，核深染。	有时多见。	少量至中等量。	结节或弥漫性。	嗜银性中等或强，纤维粗细不等，直而弯曲。	多在胞巢周围，胞巢内偶见。	偶见。	血管多，管壁薄，纤维呈网状，放射状或葡萄状。	
小细胞型	5	细胞小而圆形，胞浆少，核深染。	罕见。	大量至中等量。	以弥漫性为主。	嗜银性弱，纤维细，编成网状。	弥漫分布。	不明显。	血管多而小，管壁纤维无明显增生。	
鳞状细胞型	14	细胞边界明显多边形，或椭圆形，胞浆多，有角化或固桥。	常见。	无或少量。	明显。	结节或乳头状。	嗜银性强，纤维粗，排列紧密。	集中于胞巢周围及乳头中心胞巢内无或极少。	有。	血管壁厚，纤维增多如网状，或网心圆排列，嗜银性弱。
基底细胞型	1	细胞小椭圆或立方形，边界明显，胞浆少，核深染。	罕见。	无。	明显。	结节状。	嗜银性强，纤维粗。	胞巢周围。	有。	血管壁厚，周围有粗而嗜银性强的纤维包绕。
腺癌	3	细胞立方形或高柱形，有腺体形成。	罕见。	无。	明显。	乳头或弥漫性。	嗜银性中等，粗细不均。	腺体周围或编成网状。	有。	血管壁厚，纤维增多，粗长而微弯曲。

前者核染色浅可见核仁，后者核染色深。细胞边界均较清楚，互相平行排列成束，犹如肉瘤。瘤组织多呈团块状，或弥漫性生长。淋巴细胞浸润多寡不等，与间质分界则根据淋巴细胞浸润的程度而异，一般较合体细胞型为清楚。嗜银纤维的性状及分布与合体细胞型相似，但本型的血管较少，管壁纤维呈同心圆或短的树枝状排列。

三、多形细胞型：

此型也较多见，瘤细胞边界清楚，为多边形，梭形或椭圆形，胞浆少，核深染。瘤区细胞及核分裂较多。无细胞固桥或角化。瘤组织呈团块状或弥漫性生长，偶见淋巴细胞浸润，与间质分界大部清楚。嗜银染色示胞巢间有较多长而弯曲的纤维，嗜银性强，粗细不一致。偶而转变为胶元纤维，胞巢内有少量由间质伸入的纤维，部分已断裂。也有互相牵连成网的，网眼内含3—5个瘤细胞，达到深处时纤维完全断裂消失，间质中有丰富的血管，血管壁薄，周围有较粗

的纤维，呈网状，放射状，或同心圆排列；有时小血管相连成串，在嗜银染色中如成串的葡萄。

四、小细胞型：

此型在形态上易与淋巴肉瘤混淆，其细胞小，圆形，胞浆少，核深染，核仁及核分裂均罕见。瘤细胞间常混杂大量淋巴细胞，与间质分界不明。瘤组织作弥漫性生长。以嗜银染色时见成片瘤组织中有网状的嗜银纤维分布，后者细长而弯曲，嗜银性弱，网眼内含有小团的瘤细胞。有时嗜银纤维完全缺如，仅在血管周围见少许。间质血管多而小，管壁嗜银纤维无明显增多。

五、鳞状细胞型：

此型分化较高，瘤细胞大，呈多边形或椭圆形，边界清楚，胞浆多，核膜明显，染色质浅，核仁易见。胞浆有角化或固桥，常有良好的瘤珠形成，核分裂多而普遍。瘤细胞中极少有淋巴细胞浸润，与间质分界明显。瘤组织中的嗜银纤维可以分为下列几种情

况：

(一) 瘤组织呈结节状生长时，大量嗜银纤维分布于胞巢之间，靠近胞巢处纤维粗而直，嗜银性强，排列紧密并互相编结如索，远离胞巢处排列疏松，一部分发生胶元化。胞巢内无纤维伸入。

(二) 在乳头状生长的瘤组织中，嗜银纤维分布于乳头之中尖，形成乳头的蒂。该处纤维虽不多，但粗而直，嗜银性强，有些呈铁丝环状，围绕于血管四周。有少量纤维自瘤实质中伸入。

(三) 在成片生长的瘤组织中，嗜银纤维弥漫分布，但粗短，末端尖锐，尤如荆棘。血管壁一般较厚，纤维增多呈网状或同心圆排列。

六、基底细胞型：

此型罕见，本组仅遇到一例。瘤细胞小，呈椭圆形或立方形，细胞边界清楚，胞浆少，核深染，核分裂罕见。胞巢中无淋巴细胞浸润，与间质分界清楚，多呈片块或条状生长，在胞巢及血管周围均有粗而嗜银性强的纤维包绕。

七、腺癌：

本型瘤细胞为立方形或高柱状，胞浆多寡不等，内出现空泡，核深染，核分裂罕见。瘤组织无论呈乳头状或弥漫性生长都显示腺体排列的倾向，无淋巴细胞浸润，与间质分界清楚。嗜银染色示腺体周围有单层嗜银性强的纤维包绕。在分化较低的病例中，纤维编结如网，网眼内含小团瘤细胞。血管壁增厚，嗜银纤维增多，长而微弯曲。

讨 论

通过83例鼻咽癌组织嗜银纤维的观察，我们认为鼻咽癌与其他癌一样，具有它一定的嗜银纤维分布形式，可以与一般肉瘤区别。White, Aschrof, Tudhope及Mackenzie等，曾在这方面作了详细的研究，并推荐用嗜银染色作为癌及肉瘤的可靠鉴别方法。各型鼻咽癌的嗜银纤维主要分布于胞巢之间；但由于胞巢的大小不等，分布形式较有差异，胞巢大的呈梁状或隔状分布，胞巢小的则呈网状分布。即使在分化极低的鼻咽癌如合体细胞型，梭型细胞型及小细胞型，当瘤细胞成片生长时，我们仍可依靠以下几点与网状肉瘤或巨细胞肉瘤区别：

一、成片的瘤组织间仅见少量不规则分布的纤维，多由血管壁延伸而来。

二、若嗜银纤维编结成网，则网眼内含有至少3—5个瘤细胞，每个瘤细胞间没有纤维存在。

三、纤维末梢少呈复杂树枝状分支。在研究鼻咽癌及肉瘤的区别时尤当注意。

(一) 采取足够大小的活检组织，不使受挤压或烙伤，以免影响嗜银纤维的结构。

(二) 以标本中心部的结构为诊断依据，因为肿瘤边缘部分的嗜银纤维常与邻近组织的混杂而不能完全代表肿瘤本身的嗜银纤维。

(三) 有否受过放射治疗或继发感染等的影响。

嗜银纤维在鼻咽癌各型中的存在既有其共同特点，但也因癌分化及生长情况不同而有差异。首先我们看到嗜银纤维与癌分化高低而不同。在分化较高的鳞状细胞型，基底细胞型及腺癌型的胞巢周围有较粗而直，嗜银性强的纤维包绕，尤其在鳞状细胞型的胞巢周围嗜银纤维显著增多编结成索，且易发生胶元化。显然这当纤维有限制瘤组织迅速扩延的作用；病例的纤维逐渐消失或稀薄，便伴随着瘤组织的弥漫散布与浸润。在分化低的合体细胞型，梭形细胞型，多形细胞型及小细胞型胞巢周围的嗜银纤维细而弯曲，嗜银性弱，胞巢内往往夹杂多寡不等的细弱或断裂的纤维，有些是原组织中受瘤组织浸润破坏残余的嗜银纤维，有些是由癌细胞增生伸入的纤维，前者在形态及分布上均较不规则，长短不整，粗细不一，与瘤间质及血管无关，后者排列有定则且与瘤间质及血管密切相连。至于原有的嗜银纤维是否少发生胶元化，而新生的却容易胶元化，这在我们的病例中未能得到证明，最突出表现的为小细胞型增生的纤维可编结成细网状，致难与网状肉瘤区别，但若以高倍镜观察仍不难以鉴别(以上已提及)。不少人认为人体内嗜银纤维不止一种；如：Заварзин将嗜银纤维分为三种，一种是稳定不变的，一种是要变成胶元纤维的，一种是胚胎型的。Хавкин, Снесарев按嗜银纤维的形态将它分为两种：一种较粗的，“轴心的”，另一种较细而多分支的。А.И.Смирнова—Замкова将嗜银纤维分为繁密化阶段，稀薄化阶段及不可见阶段。从我们的材料中，也发现了不同性状的嗜银纤维。它的意义何在？这些形态特征究竟反映着什么？文献中很少提到，我们认为癌组织中嗜银纤维的粗细和嗜银性强弱可能与结核病灶中的嗜银纤维有着同样的意义，在一定程度上反映了机体的免疫状态。嗜银纤维的增生能限制癌的扩散。因此从嗜银纤维的不同性状可以间接反映鼻咽癌的分化程度。

其次，嗜银纤维的分布情况随肿瘤生长方式而不同，因此它能更确切的反映出肿瘤的生长及发展情况，根据苏木素—伊红染色的切片，除原位癌外，鼻咽癌可分为乳头状，结节状，条索状及浸润性4种生长方式。在嗜银纤维染色中，这些生长方式不仅能更清楚地显示出来，还能进一步阐明浸润成片的瘤组织的来源及发展。有的是由细条索发展而成的，有的是由结节融合而成的，有的却一开始就是成片的。再根据目前瘤组织内嗜银纤维的多少、性质及分布可以预测它的生长速度及患者的预后。

再次我們發現嗜銀纖維的分布與血管有密切的關係，一般看到血管多的部位，嗜銀纖維也多。血管壁嗜銀纖維的排列在各型癌瘤不完全相同。鱗狀細胞型血管壁的嗜銀纖維多呈同心圓或網狀排列，(Dulin 氏稱坂層狀)，纖維較粗，嗜銀性強，較少向瘤實質中伸延。合體細胞型及多型細胞型的血管壁薄，嗜銀纖維呈細網狀，放射狀或葡萄串狀分布，放射狀的纖維往往伸入瘤瘤深部，纖維細長，嗜銀性較弱。梭形細胞型的血管較少，嗜銀纖維雖不多，但嗜銀性較強。是否可以以血管的多少及血管壁嗜銀纖維的粗細來解釋，何以有些類型易發生全身廣泛轉移，而有些則否。僅提出此點作為今后進一步的研究及觀察。

最後我們見到某例經放射治療後，嗜銀纖維明顯增粗及膨化，並呈特殊的柳條狀排列，似乎更牢固的限制了瘤組織的發展，而在合併感染及壞死的瘤組織中嗜銀纖維斷裂消失，排列雜亂如亂麻或枯草，壞死周圍是否有增生的嗜銀纖維則隨機體反應性的強弱而異。

總結以上所見，我們同意 A. И. Смирнова—Замкова 的意見，嗜銀纖維是機體內在環境的主要組成部分，它具有高度的穩定性和易變性。穩定性表現在對酸鹼有強大的抵抗力，易變性表現在可以感受來自神經系統的一切衝擊而發生形態學的變化。這種變化反映著機體的反應狀態，因此通過顯微鏡下觀察瘤組織中嗜銀纖維的形態改變，可以認識機體的反應狀態。從我們的研究材料中看到不同分化程度及不同生長方式，鼻咽癌的嗜銀纖維，不僅量不等，更主要的是性質及排列上的差別。嗜銀纖維的多少，不是鑑別分化程度的絕對標誌，因為鼻咽癌合體細胞或多型細胞型也可能有較多的血管及嗜銀纖維，但却是生物學上分化較低的癌瘤。嗜銀纖維粗直，排列緊密及嗜銀性強是機體免疫力強的主要表現；相反的，若嗜銀纖維纖細，斷裂，排列稀松，嗜銀性弱反映了機體免疫力的

降低。當瘤瘤好轉或惡化時，嗜銀纖維都將顯示出相應的改變，因此如何增加提高機體免疫性，增強鼻咽癌間質及血管壁嗜銀纖維的致密度及嗜銀性，將是治療鼻咽癌防止鼻咽癌蔓延發展的關鍵問題之一。

總結

一、本文分析及總結了83例鼻咽癌活檢組織中嗜銀纖維的變化。提出各型鼻咽癌嗜銀纖維的特徵及在研究鼻咽癌生長及發展上的意義。

二、鼻咽癌與其他癌瘤一樣具有它一定的嗜銀纖維分布形式，可以與一般肉瘤區別。分化極低的鼻咽癌可依據以下幾點與肉瘤鑑別：

(一) 成片瘤組織間見少量不規則分布的纖維，多由血管延伸而來的。

(二) 若嗜銀纖維編織成網則網內含至少3—5個瘤細胞，個別瘤細胞間無纖維存在。

(三) 纖維末梢少呈樹枝狀分支。

三、各型鼻咽癌組織嗜銀纖維的性狀頗有差異。分化高的嗜銀纖維粗直，排列緊密，嗜銀性強；分化低的嗜銀纖維纖細，排列稀松，甚至斷裂消失，嗜銀性弱。它們反映了機體的不同機能狀態和免疫性。

四、嗜銀纖維染色能更確切的闡明鼻咽癌的生長方式及發展情況，尤其可以了解瀰漫成片生長的瘤組織的來源及發展，從而預測患者的預後。

五、嗜銀纖維的分布與血管有密切的關係，血管多的部位，嗜銀纖維也多。血管壁嗜銀纖維的粗細排列，在各型鼻咽癌也不完全相同，有呈同心圓、網狀，放射狀或葡萄串狀。此種性狀上的區別是否與各型鼻咽癌的不同轉移特性有關，值得進一步研究與觀察。

六、最後強調如何提高機體免疫性，增強鼻咽癌間質及血管壁嗜銀纖維的致密度及嗜銀性將是治療鼻咽癌，防止鼻咽癌蔓延發展的關鍵問題之一。

參考文獻（從略）

惡性腫瘤120例血清蛋白的濾紙電泳分析

福建省立醫院 童國璣、楊發端、張浩芳、陳振麟、李德榮

近年來臨牀上逐漸地較為廣泛地採用血清蛋白電泳的方法作為某些疾病的輔助診斷的研究。國內有關此項文獻已達十餘篇，惟獨有關腫瘤方面的資料為數不多，僅於1959年吉林醫科大學基礎內科教研組報告過一篇。我院腫瘤科於1960年自1—9月間曾在腫瘤

科門診120例惡性腫瘤患者中作了血清蛋白的濾紙電泳測定，目的求得通過此項工作進一步探討惡性腫瘤的血清蛋白的濾紙電泳的改變。現將120例惡性腫瘤血清蛋白電泳結果報道於下並略加討論。

材料来源

本文所报告的120例恶性肿瘤病例均系肿瘤科门诊及深部放射治疗室门诊或住院患者。诊断均经过病理组织切片证实的，其中仅有肺癌2例单凭临床典型症状、X—线检查及放射治疗后有疗效者。本组病例分布情况：鼻咽癌43例，子宫颈癌29例，乳腺癌10例，口腔癌9例，食管癌8例，上颌窦癌5例，甲状腺癌、扁桃体癌4例，淋巴系统恶性肿瘤3例，及肺癌2例。

操作方法

整流器：电子管整流器输出最高电压为400伏特。滤纸采用抚顺市东捷造纸厂出品的定性N₁滤纸，分别剪制30厘米长，宽3厘米，在长边中心处及

相距6厘米处分别用铅笔画一直线。将滤纸悬置PH^{8.6}离子强度0.05的巴比妥缓冲溶液中过夜，取出浸泡在缓冲溶液中之滤纸后，即将其水分吸至将干之际，把涂有均匀适量血清之玻璃片边缘印在滤纸上，将滤纸悬在电泳槽上，调节电压至350伏特左右，电流至每条滤纸=2毫克安培左右，连续电泳5小时，置滤纸于100°C左右烘30分钟使蛋白固定，以1%溴酚蓝酒精饱和氯化高汞溶液染色，后再用0.5%醋酸溶液脱色，阴干滤纸，将蛋白各染色部分分段剪下，分别浸10毫升0.8%氢氧化钠溶液中，约20分钟，选用520毫微米滤光板在光电比色计上分别测定光密度，再折算各蛋白质含量所占百分率。

结果：（见表1）

表一 120例恶性肿瘤血清蛋白的滤纸电泳（按平均值计算）

病名	例数	%	球蛋白%				白/球
			白蛋白	α_1	α_2	β	
鼻咽癌	43	44.53	7.42	10.39	13.17	23.11	0.81
子宫颈癌	29	47.52	7.65	10.83	13.14	20.96	0.91
乳腺癌	10	50.10	7.61	9.70	13.25	19.57	1.00
口腔癌	9	44.05	8.18	10.51	14.27	23.01	0.79
食管癌	8	45.30	7.64	10.66	14.10	23.40	0.83
上颌窦癌	5	49.60	6.70	10.66	13.33	20.98	1.00
甲状腺癌	4	54.50	5.15	8.02	11.20	21.12	1.20
扁桃体癌	4	45.82	9.45	12.32	14.27	17.32	0.85
淋巴系统恶性肿瘤	3	43.71	8.56	12.66	13.96	21.016	0.78
肺癌	2	44.21	8.65	9.80	11.60	20.25	0.78
消化道癌	3	50.66	7.06	8.90	11.86	21.50	1.03
总计	120	47.02	7.85	10.52	13.06	20.86	0.89

讨 论

一、血浆蛋白是血液重要组成部分，它可分为三种：纤维蛋白元、球蛋白及清蛋白。此外另有血清黏蛋白（约0.1%）及微量核蛋白。电泳法分离血浆蛋白质的原理，基于血浆各种蛋白质的分子大小不同，与等电点高低亦不同，故在某种PH缓冲液中蛋白质的离解情况不同，它们在电场内移动方向及速度均不一致，因而可将血浆蛋白质完全分解为清蛋白及 α_1 、 α_2 、 β 、 γ 四种球蛋白。血浆蛋白在机体内有着下列生理功用：维持血液与组织液间之水分平衡，构成缓冲剂以维持酸碱平衡，营养功用、运输功用、抗体作用以及球蛋白与

免疫方面有着密切关系。国内有关机体生理功能障碍时血清蛋白电泳的研究，有文献记载为数不少。但对肿瘤患者有关此项的研究的文献还不很多。

二、本文120例恶性肿瘤患者的血清蛋白的滤纸电泳的结果与国内张、宋二氏，陆、萧、汪三氏以及吉林医科大学基础内科教研组所作的健康成人血清蛋白的滤纸电泳分析正常数值相比较，（见表2）则本组恶性肿瘤患者白蛋白明显降低，球蛋白增加，尤其 α_2 球蛋白为甚。在本文120例恶性肿瘤不同系统分布看来，各组中 α_2 球蛋白增高是相当普遍的，成为共同改变的特征。

表2

原作者	例数	%	球蛋白%				白/球
			白蛋白	α_1	α_2	β	
张、宋二氏	100	57	4.0	9.3	14.7	19.9	1.32
陆、萧、汪三氏	100	60.2±2.0	4.1±1.0	6.5±1.0	10.5±0.8	18.7±1.4	1.50
吉林医科大学基础内科教研组	100	60.1	4.4	6.1	10.2	19.2	1.52
本文	120	47.02	7.8	10.515	13.064	20.861	0.89

若本文 120 例恶性肿瘤血清蛋白电泳分析結果与吉林医科大学基础內科教研組所报道66例恶性肿瘤血清蛋白电泳分析結果相比較（見表 3）。基本是相吻合的，其特点表現在白蛋白降低，球蛋白增高，尤以 α_2 球蛋白增高为著10.515，白/球之倒置为0.89。

表 3

作 者	例 数	%	球 蛋 白 %				白/球
			α_1	α_2	β	γ	
吉林医科大学基础 內科教研組	66	48.9	5.8	10.0	12.5	22.8	0.96
本 文	120	47.02	7.8	10.515	13.064	20.861	0.89

三、吉林医科大学基础內科教研組報告文章中复习文献，述及国外作者烟下氏，William Jenoks 等氏均指出恶性肿瘤患者以 α_2 球蛋白增高为特征，本文 120 例恶性肿瘤血清蛋白电泳結果是支持了这种論点。尤其本組病例較多的鼻咽癌，与子宫頸癌組，其 α_2 球蛋白分别为10.39%，10.83%。

四、本組肿瘤病人血清蛋白电泳分析結果，凡是属肿瘤发展慢而病程长的或者早期被发现的，其血清蛋白电泳分析看來，則白蛋白降低不明显，同时 α_2 球蛋白增加也不是十分显著，白/球也无明显倒置，如本組乳癌与甲状腺癌組就有如是表現，其 α_2 球蛋白

分別为9.7%，8.02%与白/球分别为1.0，1.2。这組病例虽少，但在病例較多的鼻咽癌組，子宫頸癌組中，个别患者属于上述情况者亦有类似的改变。

总 结

一、本文报告 120 例恶性肿瘤血清蛋白电泳結果，并略加討論。

二、本文对觀察 120 例恶性肿瘤血清蛋白电泳結果，血清白蛋白減低，球蛋白增加，尤以 α_2 球蛋白为著，以及白/球之倒置符合国内外文献报告。

参考文献（从略）

肝 瘤 線 (中 医 舌 診)

福建省立医院肿瘤科 童国樑

福建省中医研究所 黄永融

一、緒 言

“舌診”是中医临床诊断疾病的方法，从观察舌的色泽、苔垢、津液和形态来判断疾病发生的部位和性质，为中医望診法中的重要一环。祖国医学認為舌喉五脏：舌尖屬心、滿舌屬胃、中心亦屬胃，舌根屬腎，兩旁屬肝胆，四畔屬脾（吳安坤）。如果脏腑有病可以从所候的部位上反映，鉴于国内外目前对肝癌舌診尚无文献記載，我們在上述理論中心思想支配的基础上，于1960年冬季起，至1962年2月止，在临幊上（包括住院、門診病例）觀察了76例临幊診斷为原发性肝癌患者，着重觀察舌的变化，希望寻找原发性肝癌舌診的临幊特征，提供临幊作为診断原发性肝癌特殊体征之一，現将初步觀察結果报告如下：

二、肝瘤線临床舌診的特征

舌的左右两侧边缘呈現着紫或青色，成条紋状或

不規則形状的斑块、黑点，境界分明易于辨認，偶也可以見于左右两侧（見附图），由于其表現部位易于忽略，又因其作用为提示肝癌的信号，所以我們暫稱为“肝瘤線”按肝属瘤类，“肝瘤”亦即隱寓肝脏肿瘤的意思。

三、肝瘤线的诊察方法

“肝瘤線”的舌診方法与一般舌診一样，先嘱患者张大口腔，把舌自然地伸出口外，舌尖略向下方，使舌面舒張，先看一般舌苔和舌质，然后觀察左右两边舌緣的中部及前部有无“肝瘤線”的征象出現，在觀察时应注意以下几点：

(1) 观察时光线务求充足，不宜在夜晚或者色的电灯进行。

(2) 观察前禁吃染苦东西。

(3) 观察时应嘱患者，把舌向左侧或右侧弯曲，使舌的边缘获得充分暴露。

(4) 观察时应注意与舌缘静脉区分。

(5) 观察宜稍仔细进行，如一时看不清，则应反复二至三遍。

(6) 观察肝癌线部位系在舌体的双侧边缘，如果出现在舌面或偏于中央，是属于他种瘀斑，口腔粘膜也会有色素斑出现，临床必须加以区别，以免混淆。

四、舌诊观察结果

76例临床诊断为原发性肝癌患者，有肝癌线象征

表 1

76例临床诊断为原发性肝癌的舌诊观察结果

舌诊观察结果	例数	无肝穿刺	肝脏穿刺	剖腹探查结果				备注
		与剖腹探查		结果	多发性肝管结石、脓疡	原发性肝癌	肝叶切除数	
有肝癌线	59	36	7	16	1	2	13	9
无肝癌线	17	14		3			3	2
病理诊断为原发性肝癌			7				14	11

为了进一步观察“肝癌线”是否能成为原发性肝癌的特殊体征之一，我们还在临幊上观察了一些其他

肝脏疾病和它种恶性肿瘤及一般性疾病作比较，其结果如下：

表 2

其他疾病肝癌线观察结果

病名	例数	有肝癌线	备注
继发性肝癌	4	2	
传染性肝炎	42	2	包括急慢性传染性肝炎，三例有肝癌线系慢性肝炎，肝有局限性肿大（未經病理証实）
鼻咽癌	32	4	包括已接受或未接受放射治疗，四例有肝癌线者，一例肝已肿大硬
宫颈癌	19	1	
支气管肝癌	6	1	肿瘤已转移，肝肿大，功能受累，住院不久死亡
颈下恶性肿瘤	1	1	肝脏有肿大
肝硬化	22		
胆囊炎	12		
食道癌	22		
乳癌	16		
胃癌	32		
总计	208	11	

讨 论

1. 肝癌线的出现是在舌缘的左右两侧（单侧或双侧并见），这两侧在祖国医学文献里是候肝胆部位，就是说肝胆二经有病可以在这两侧反映。其理由是

“厥阴者肝脉也，肝者筋之合也。筋者，聚于阴器，而脉络于舌本也，故脉弗荣，则筋急，筋急则引起舌与卵，故唇青舌卷卵缩……。”《灵枢经脉篇》。这说明肝有病可以通过所属经络（足厥阴肝经）而在舌体和睾丸部表现。由此可以理解当肝脏发生某部种变

化，肝之經絡失調，氣血運行有阻，以致形成這種舌征。又根據我們初步觀察肝癰線在舌質紅、絳或紫色的情況下更為明顯。如果根據一般舌診學說，認為舌紅主熱，舌絳為邪熱傳營，舌紫多為熱象，舌青多為虛寒，或為瘀血、疼痛。生斑舌，舌有紅色而有小黑點者，為熱毒乘虛入里，蓄熱則發斑。舌有紫紅、瘀紅，主肝脏熱極及疫熱內伏。又舌邊青者，內有瘀血阻滯也。紅絳舌生紫多因血中邪熱過盛，氣血發生壅滯而成。瘀血之外証，為舌之鮮紅及紫斑點。為納以上文獻記載，舌之紅、絳、紫、青、黑點、紫斑等病理為：（1）屬熱性病。（2）脏腑熱毒。（3）氣血壅滯。（4）瘀血病。原發性肝癌病例臨床舌質多見紅、絳、紫斑、且小漫赤，脈弦及血性腹水等症狀。這說明原發性肝癌可能為熱毒內郁，瘀血阻滯，所以在舌緣左右兩側有肝癰線出現（兩側為肝胆部）。這反映了解肝的經絡某部分有熱毒瘀血阻滯的病變——癌肿的可能。

2. 通過76例臨床診斷為原發性肝癌的舌診觀察，有59例出現肝癰線，占總數之77.6%，初步說明了肝

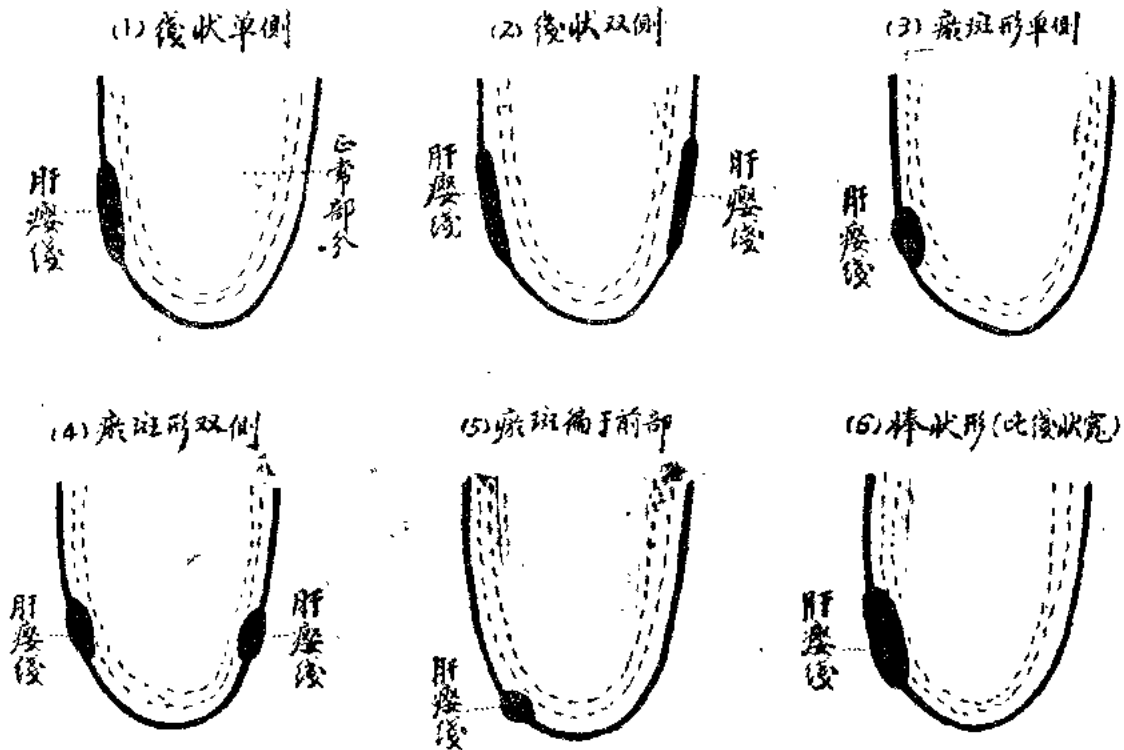
癰線與原發性肝癌具有一定關係。但從一例肝管結石瘤和二例肝癌患者亦出現有肝癰線看來，似乎說明了肝癰線的出現和肝臟內的占位性病變有關。

3. 為了了解肝臟其他疾病是否具有這種舌征，我們在臨臨上曾分別觀察22例肝硬化患者均為陰性，42例傳染性肝炎患者僅有2例陽性，12例膽囊炎患者皆為陰性，4例繼發性肝癌2例陽性，2例陰性。這樣看來肝癰線與肝硬化和有黃疸性肝炎關係可能不大。肝炎2例出現肝癰線有肝臟局限性腫大，不久死亡，沒有病理檢查，不能排除惡性可能。

4. 根據本組76例臨床診斷為原發性肝癌，出現肝癰線組23例行剖腹探查或肝穿刺，病理証實為原發性肝癌患者18例（占78.2%）。所以我們認為臨臨上有出現上腹部不對稱腫塊，且有明顯自覺痛和他覺痛，同時舌診有肝癰線出現者，初步可以懷疑為原發性肝癌。但由于例數不多，觀察還不夠細致，有待今后更進一步在肝癰線組織學上和原發性肝癌發展規律上更系統地研究，以確定其臨臨診斷價值。

參考文獻（略）

肝癰線的中醫舌診（附圖）



註：除標示肝癰線外，其他舌均正常部分。

脊髓肿瘤 25 例临床分析

福州神經精神病防治院神經外科 陈 锦 瑞

我院自1957年至1961年6月，四年共收治中枢神經系統肿瘤200例中，除顱內肿瘤150例外（占76%），临床診斷为脊髓肿瘤者48例（24%），二者之比为4：1，茲将脊髓肿瘤經手术治疗与病理证实者25例的临床資料分析討論如下。

临床資料

性別：本組25例中男性16例，女性9例，以男性居多。年齡：本病虽可发生任何年齡，但以青壯年為多見，本組25例中10例發生于21至30岁之間，最小年齡系16岁，最高者60岁，平均年齡为38岁。

表1：年齡比較

年齡	11-20岁	21-30岁	31-40岁	41-50岁	51-60岁	總計
人數	3	10	4	5	3	25

表2：脊髓肿瘤各節段的类别

脊髓之節段	硬膜外肿瘤	硬膜內脊髓外瘤	髓內瘤	病理性質	總計
頸 段	1	4		脑膜瘤	
		1	1	神經纖維瘤	8 例
		1		巨細肿瘤	
		4		胶质瘤	
			2	纖維瘤	
			1	胶质瘤	
		1	1	轉移內瘤	13 例
		4		脑膜瘤	
			1	髓性白血瘤	
胸 段				室管膜瘤	
				神經纖維瘤	
				胶质瘤	
腰 段		1			
		2			
腰段馬尾		1			

肿瘤类别与部位：脊髓肿瘤可发生任何部位，按肿瘤之位置以胸頸段較多，本組損害在胸段者13例，頸段8例，腰骶段3例，馬尾1例。脊髓肿瘤一般可分为硬膜內脊髓外肿瘤，硬膜內脊髓內肿瘤，硬膜外肿瘤三类，其中以硬膜內脊髓外肿瘤最为多見。本組硬膜內脊髓外肿瘤20例占76%，其中神經纖維瘤10例，脑膜瘤5例，室管膜瘤2例，胶质瘤1例，巨細肿瘤1例，轉移內瘤1例。脊髓內肿瘤4例，神經胶质瘤2例，轉移內瘤1例，急性髓性白血瘤1例。硬膜外瘤1例为脑膜瘤。

临床一般症状：脊髓肿瘤因多系良性，一般生长緩慢，至发生初期出現症状往往不明显，俟症状显现时求医的三分之二病人，病期已在一年左右，本組有16例在发病后只六个月到一年來門診。1例高頸段神經纖維瘤患者歷經六年之久，最后方被確診，进行了手术治疗。1例系結腸內瘤轉移至脊髓胸段而表現急性脊

髓橫貫性損害完全截瘫四天而入院求治。

脊髓肿瘤症状一般是进行性的，典型症状是三个连续阶段所构成的：

(1) 神經根刺激期：早期常局限于某一部位的神經根疼痛之症状或是感觉异常麻木不适，尤其是在邻于神經根的肿瘤者为明显，常现有胸腰背腹痛，腿痛，这疼痛可局限一处，或限着受害神經根所分布的区域辐射，其疼痛亦因咳嗽，腹压增加，或力解大便等等因素都能致疼痛加重，而休息并不能使疼痛明显缓解。本組25例中沿着一定部位的放射痛起病者有14例，以麻木不适电針刺样感而起病者9例，1例以肌无力开始发病，1例以小便困难而起病。

(2) 脊髓部分受压期：继神經根刺激症状之后，病程进展而出現运动感觉障碍等。脊髓部分受压的症状如髓外肿瘤于一侧时可現半截瘫的现象称Brown—Segard氏综合征（自病变节段下同侧运动瘫痪及深部感觉丧失，对侧痛觉及温度觉丧失）。本組13例继神經根痛和感觉麻木之后均現有肢体无力活动不自如有明显Brown—Segard氏综合征有4例。

例石××，女性、33岁，护士，訴說背痛一年半，左下肢进行性由下而上的麻木皮肤厚感，伴右下肢无力走路不自如，小便时現困难有一个月，而于

1960年3月入院求治。

临床检查：脊柱胸5—6压痛，左下肢肌无力减退，运动較差，自胸8以下的躯干和左下肢痛觉消失，脊柱平片見胸4—6向右侧突，腰椎穿刺試驗

(Quecken—Stedt) 氏呈現不完全阻塞，碘油造影停留在脑椎5—6，逐在局麻下行肿瘤切除术。手术所見位于胸5—6硬膜內脊髓外肿瘤，病理報告为脑膜瘤，术后第三天左下肢痛觉恢复，第七天小便能自解，第十天左下肢肌力好转，术后一个月能走路。

(3) 脊髓截瘫：脊髓压迫不断的增加，終于出現截瘫的結果，并伴有括約肌功能障碍。本組有17例入院时检查病人已現瘫痪，8例肌力減退。

临床检查：①神經系統体征：脊髓肿瘤的診断临幊上多采用感覺，运动，反射等系統检查所得到的結果为依据，但少数病例則臨床体征与肿瘤手术部位有所出入。本組頸段肿瘤8例中所表現感覺障礙定位准确有6例。1例表現感覺正常，1例肿瘤在頸段4—5，而感覺損害平面在胸2。胸段13例其中11例与手术所見符合，1例系轉移內瘤感覺障礙平面于腰4而手术所見即在胸下段，腰段3例，1例表現感覺正常，髓段馬尾1例，感覺的障礙与手术所見符合。見表3。

表3：感覺障礙平面与肿瘤之位置

C: 頸段	T: 胸段	L: 腰段	S: 髓段	★下行性	▲上行性		
病 例	临床检查感覺障礙平面	碘油定位	手术所見部位	病 例	感覺障礙平面	碘油定位	手术所見部位
1	T 10	T 10	T 10	14	T 2	C 4	C 4—5
2	C 7	C 7	C 7	15	T 1	—	頸下段
3	T 4	T 4	T 4	16	L 4	—	胸下段
4	T 1	C 7★	C 8	17	T' 10	T 10	T 10
5	C 2	C 1	C1-C2	18	L 1-3	T 12	T 12
6	T 7	T 7	T 6	19	L 1	T 11-12	T 11
7	T 8	T 6	T 6	20	T 7	—	T 7
8	T 8	T 10	T 9	21	正 常	—	頸
9	L ₁	L 2	L 1-2	22	正 常	—	L 2-4
10	L ₅ -S ₁	L 5	馬尾★	23	T 7	T 6	T 5-6
11	L 5	L 5	L 5	24	T 6	T 8	T 6-7
12	C 6	—	C 6	25	C 5	C 5	C 5
13	T 10	—	T 10				

运动系統：脊髓頸段肿瘤8例，均表現上肢肌无力，緩性瘫瘓，下肢呈痙攣性瘫，其中1例肿瘤系位于頸2—3而出現了手部骨間肌類的萎縮現象。

(2) 脑脊髓液检查：

·脑脊髓液的奎肯氏試驗Queck—Stedt (+) 对診斷脊髓肿瘤为属必要，本組25例中作頸部压迫試驗，

現有各种不同程度的阻塞者有22例。有兩例未作頸部压迫試驗，1例不明显。脑脊髓液的常規檢查，25例常規检查細胞数，糖氯化物定量属于正常范围，而蛋白定量均現增加，1例最高者达1523mg % (系腰段髓外的神經纖維瘤)。最低者为79mg % (系頸段的轉移內瘤)。5例仅作定性检查均在+++，附表4。

表4 脑脊髓液蛋白定量增加例数

定性	45-100mg %	101-200	201-300	301-400	401-500	501-1,000	1,000以上
+++	5	2	6	1	2	2	6

(3)脊柱检查：相当于該部分病变17例有局部之压痛或叩打痛，阳性率64%，8例局部无压痛。

(4) X射線检查：脊柱平片。椎管肿瘤可引起脊柱改变，如椎弓根間距离加宽、椎間孔扩大，或脊柱密度增大的阴影或浸潤破坏或压缩磨损，尤其硬脊膜外肿瘤时肿瘤平面的脊柱管壁扩大和破坏较为明显。本組的20例X射線平片摄影显示椎弓根受压变形1例，距离增宽2例，椎体受压凹陷变形及骨质破坏4例，椎柱弯曲5例，脊椎生理弯曲度消失2例，正常者6例。

脊髓碘油造影：为手术前明确定位。本組18例用“上升性碘油”和“下降性碘油”行脊髓造影，結果均显示肿瘤所在地的充盈缺损。

手术結果与預后：25例手术未作完整的出院后的随訪工作，但就术后至出院时间之效果来看尚为满意，硬膜内脊髓外肿瘤手术切除17例，症状都显著在短期内恢复，其中2例的神經纖維瘤在术后第一天感觉和肌力均現好轉。1例胸段肿瘤病人手术过程中欠合作，而拒絕切除。然其两下肢的肌力于术后18天明显之恢复(可能系因減压之故)，有16例术前肢体呈痙攣性或迟缓性瘫瘓，术后平均八天感觉的障碍或瘫瘓开始恢复1例瘫瘓五个月即在术后25天就能下床走路。3例髓内肿瘤仅作脊髓背側切除后，肢体功能見明显的好轉，3例系轉移內瘤术后曾一度瘫瘓的肢体有些恢复，但以后因全身情况恶化而死亡。

讨 论

脊髓肿瘤其包括了脊髓、脊髓膜、脊神經根以及从椎管壁骨組織向椎管生长的新生物和椎管内炎癥性或寄生虫肿瘤状形成物所以脊髓肿瘤应称椎管內肿瘤，椎管內肿瘤比脑瘤少兒，脊髓肿瘤和頸髓肿瘤发病率的比例A·A·nonnenB神經外科学研究所的統計為F6，近來脊髓肿瘤的发病率有明显的增長的趋势，这是由于对该病的診斷和外科治疗方法的成功。但对它的延误診治其最系良性之病变，而可造成不幸之預后，瘫瘓不起最后可因合并症肺炎、敗血症、泌尿系

統感染而亡故。因此早期診斷及治疗預后一般很好。当病人訴說症状詳細进行神經系統检查，包括腰椎穿刺奎肯氏試驗，脑脊液化驗，X射線脊髓造影术等均属必要。

脊髓肿瘤临床体征的出現与肿瘤的性质，大小發生部位以及脊髓受压的程度有关，通常定位肿瘤损害部藉助感覺缺損的平面或阶段性感覺缺損帮助比較大，其感覺消失区多相当于肿瘤之下界，即肿瘤位于感覺或运动紊乱之上界。但當某肌肉或某群发生萎縮示支配肌群的脊神經有損害，具有定位之參考。

本組25例有2例感覺平面与肿瘤损害部不符合，2例感覺正常外，21例感覺缺損平面与肿瘤损害部一致，定位准确率为84%，該2例感覺正常者其肿瘤系于腹側，故感覺障礙不明显。而出現运动体征較为显著。另2例其感覺障礙与肿瘤损害部位不符合，我們考慮是否由于肿瘤之压迫脊髓表現，有脊前动脉功能亢进粘連等，故感覺障礙的平面較肿瘤的部位为低下。

在輔助检查本組25例行X射線脊柱正側位平片20例，有14例(70%)于片上現有各种类型异常影像，因此我們認為当拟診脊髓肿瘤时X射線脊柱平片乃属必要，但在X射片定位不明确体征或感覺平面不明确时，则需要作脊髓碘油造影检查，肿瘤在高位者宜經腰下池穿刺，低位者宜經腰椎穿刺，注入碘油2—3毫升即可，硬膜內脊髓外肿瘤造影阻塞显影大多呈杯形充盈缺损，在硬膜外脊髓內肿瘤显影其边缘較不整齐，位馬尾者缺損多呈齒狀影像。

腰椎穿刺奎肯氏試驗及脑脊髓常規檢查在协助診斷脊髓肿瘤和鑑別診斷系不可缺少的，我們則列为常規。

例：李××男42岁，飲食工人，三年前右下腹呈陣发性悶痛間歇性發作，曾在其他院被診為闌尾炎而行手术切除(术中見闌尾正常)，术后右下腹的悶痛，續續不消，繼續至今，逐于入院前20来天伴有腰痛放射右下腹咳嗽而加重，右下肢日益麻木无力，故走路跛行，检查脊柱L12—腰2压痛，Lasègue氏征陽性，我按一般的坐骨神經痛處理，然住院十余天休息治疗，病狀反而进展性加重，而予以脊柱X綫照片